

# IMAGE PROCESSING

Sonia Tangaro

Istituto Nazionale di Fisica Nucleare

[Sonia.Tangaro@ba.infn.it](mailto:Sonia.Tangaro@ba.infn.it)

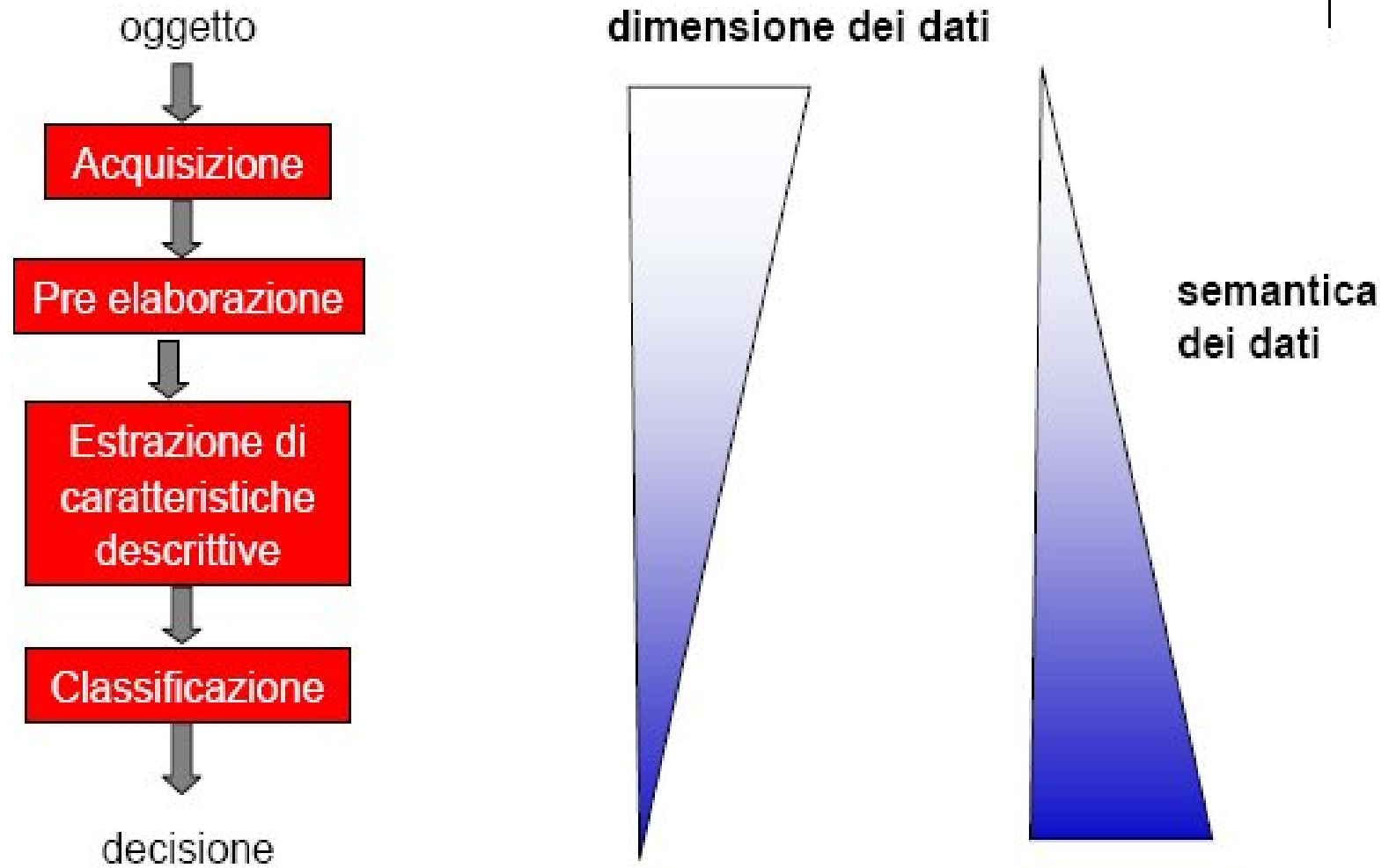
# Programma del Corso

1. Introduction
2. Componenti di un Sistema di Image Processing
3. Digital Image Fundamentals
  1. Basic Concepts
  2. Spatial and Gray-Level Resolution
  3. Some basic Relationships between Pixels
4. Image Enhancement in the Spatial Domain
  1. Basic Gray Level Transformations
  2. Histogram Processing
  3. Filtering
5. Image Enhancement in the Frequency Domain
6. Segmentation
7. Pattern recognition
8. Classification Systems
  1. Regressione Logistica
  2. Reti Neurali Artificiali
9. Valutazione della qualità dei Modelli

# Libri di testo Consigliati

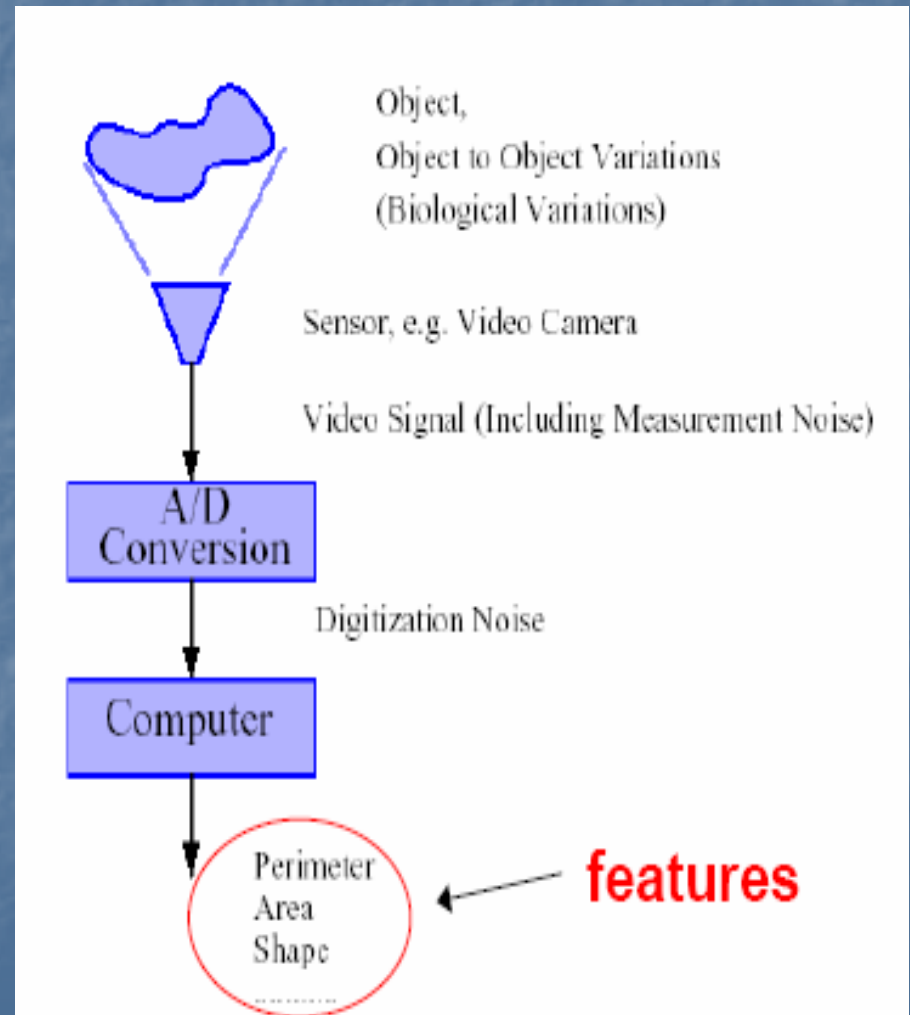
- Giudici - Data Mining - Mc Graw Hill
- Bishop - Statistical Pattern Recognition - YYY
- Gonzales & Woods - Digital Image Processing - Prentice Hall

# Un processo complesso



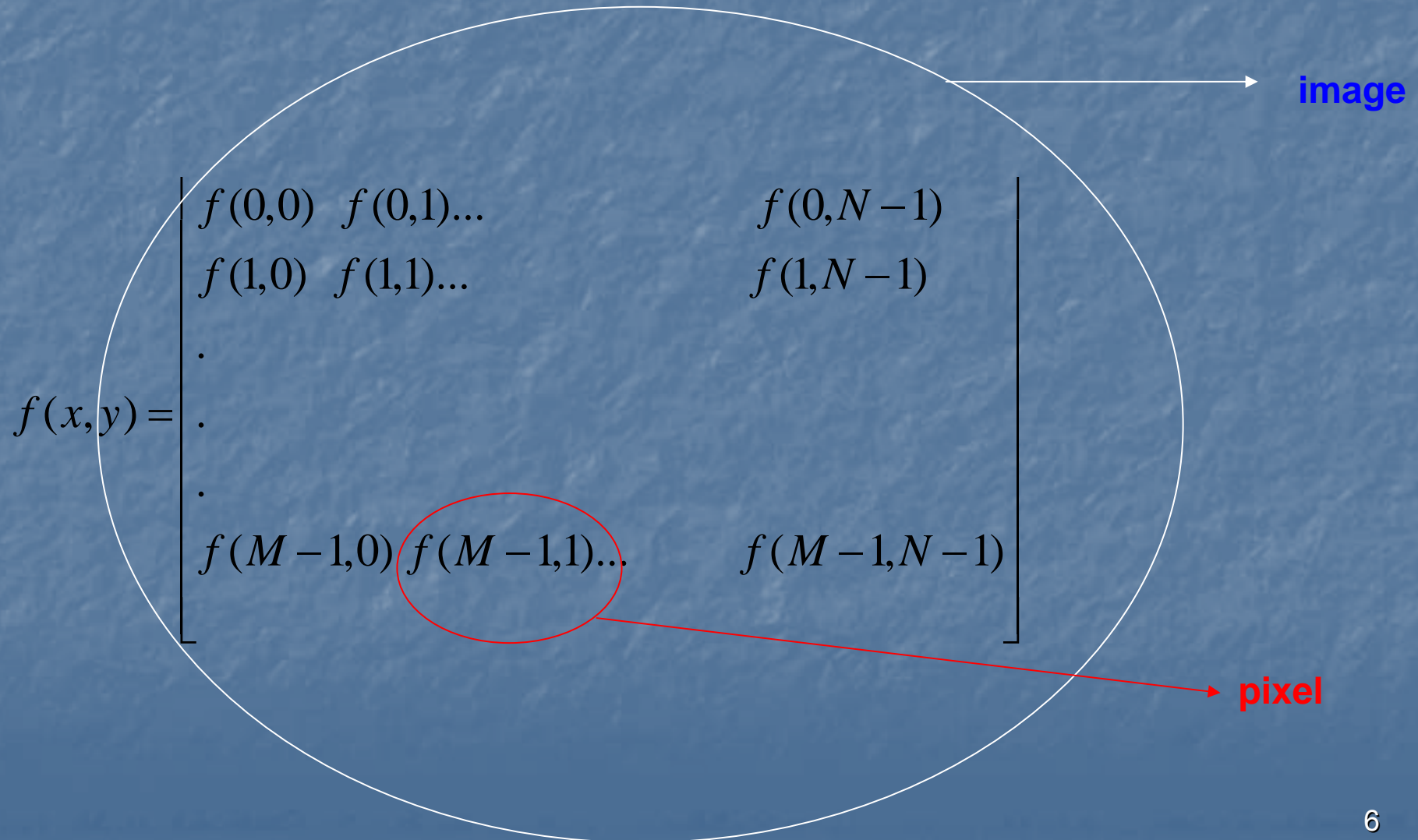
# Descrizione

- In ingresso al sistema di riconoscimento è presentata una **descrizione**, cioè un insieme di misure (**features**) che **caratterizza** l'oggetto da riconoscere.
- L'insieme di misure è scelto sulla base delle esigenze specifiche



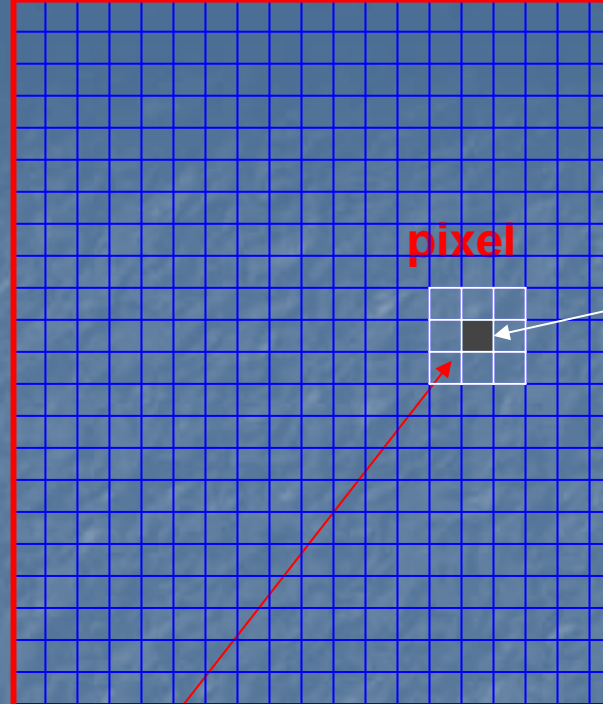
# Representing Digital Image

The results of **sampling** and **quantization** is a **matrix of real number**.



Origin

Y



$$f(x,y) = \begin{bmatrix} f(0,0) & f(0,1) \dots \\ f(1,0) & f(1,1) \dots \\ \vdots & \vdots \\ \vdots & \vdots \\ f(M-1,0) & f(M-1,1) \dots & f(M-1,N-1) \end{bmatrix}$$

# Spatial and Gray-Level Resolution

Sampling is the principal factor determining the spatial resolution of an image. Basically, **spatial resolution** is the smallest discernible detail in an image. Suppose that we construct a chart with vertical lines of width  $W$ , with the space between the lines also having width  $W$ . A line pair consists of one such line and its adjacent space. Thus, the width of a line pair is  $2W$ , and there are  $1/2W$  line pairs per unit distance. A widely used definition of resolution is simply the smallest number of discernible line pairs per unit distance; for example, 100 line pairs per millimeter.

**Gray-level resolution** similarly refers to the smallest discernible change in gray level (measuring discernible changes in gray level is a highly subjective process). Due to hardware considerations, the number of gray levels is usually an integer power of 2. The most common number is 8 bits, with 16 bits being used in some applications where enhancement of specific gray-level ranges is necessary. Sometimes we find systems that can digitize the gray levels of an image with 10 or 12 bits of accuracy, but these are the exception rather than the rule.

# Neighbors of a Pixel

pixel  $p$  at coordinates  $(x,y)$

horizontal and vertical 4-neighbors of  $p = N_4(p) =$   
 $(x+1,y) , (x-1,y) , (x,y+1) , (x,y-1)$

diagonal 4-neighbors of  $p = N_D(p) =$   
 $(x+1,y+1) , (x+1,y-1) , (x-1,y+1) , (x-1,y-1)$

$N_4(p) + N_D(p) = N_8(p) = 8$ -neighbors

# Adjacency

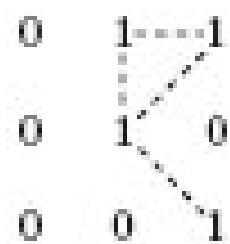
1. Connectivity = two pixels are connected if they are neighbors and if their gray levels satisfy a specified criterion of similarity (say, if their gray levels are equal)
2. Adjacency.

Let  $V$  be the set of gray-level values used to define adjacency. We consider three types of adjacency:

- a. 4-adjacency: Two pixels  $p$  and  $q$  with values from  $V$  are 4-adjacent if  $q$  is in the set  $N_4(p)$ .
- b. 8-adjacency: Two pixels  $p$  and  $q$  with values from  $V$  are 8-adjacent if  $q$  is in the set  $N(p)$ .
- c.  $m$ -adjacency (mixed adjacency): Two pixels  $p$  and  $q$  with values from  $V$  are  $m$ -adjacent if
  - (i)  $q$  is in  $N_4(p)$ , or
  - (ii)  $q$  is in  $N_D(p)$  and the set has no pixels whose values are from  $V$Mixed adjacency is a modification of 8-adjacency. It is introduced to eliminate the ambiguities that often arise when 8-adjacency is used.

For example

0	1	1	0	1	1	0	1	1
0	1	0	0	1	0	0	1	0
0	0	1	0	0	1	0	0	1



# Connectivity, Regions, and Boundaries

- A (digital) path(or curve) from pixel p (x, y) to pixel q (s,t) is a sequence of distinct pixels with coordinates
$$(x_0 , y_0), (x_1 , y_1), \dots , (x_n , y_n)$$
where  $(x_0 , y_0) = (x, y)$ ,  $(x_{i-1} , y_{i-1})$ ,  $(x_i , y_i)$   $(x_n , y_n) = (s, t)$ , and pixels are adjacent for  $1 < i < n$ . In this case, n is the length of the path. If  $(x_0 , y_0) = (x_n , y_n)$ , the path is a closed path
- Let S represent a subset of pixels in an image. Two pixels p and q are said to be connected in S if there exists a path between them consisting entirely of pixels in S. For any pixel p in S, the set of pixels that are connected to it in S is called a connected component of S. If it only has one connected component, then set S is called a **connected set**.
- Let R be a subset of pixels in an image. We call R a **region** of the image if R is a connected set.
- The **boundary** (also called border or contour) of a region R is the set of pixels in the region that have one or more neighbors that are not in R.

# Image Enhancement in the Spatial Domain

**Enhancement** is to process an image so that the result is more suitable than the original image for a *specific* application

- Spatial domain = direct manipulation of pixels in an image
- Frequency domain = modifying the Fourier transform of an image

# Enhancement techniques based on Point Processing

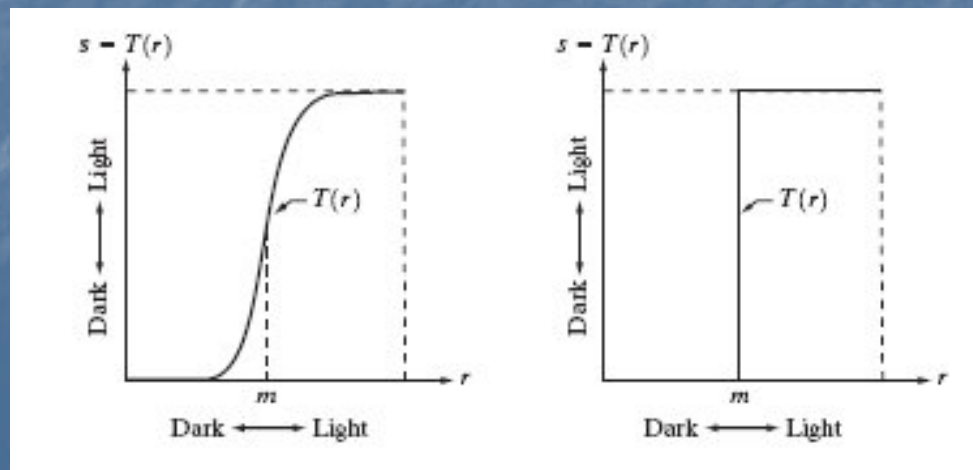
$$g(x, y) = T[f(x, y)]$$
$$s = T(r)$$

**Contrast stretching:**

the values of  $r$  below  $m$  are compressed by the transformation function into a narrow range of  $s$ , toward black;

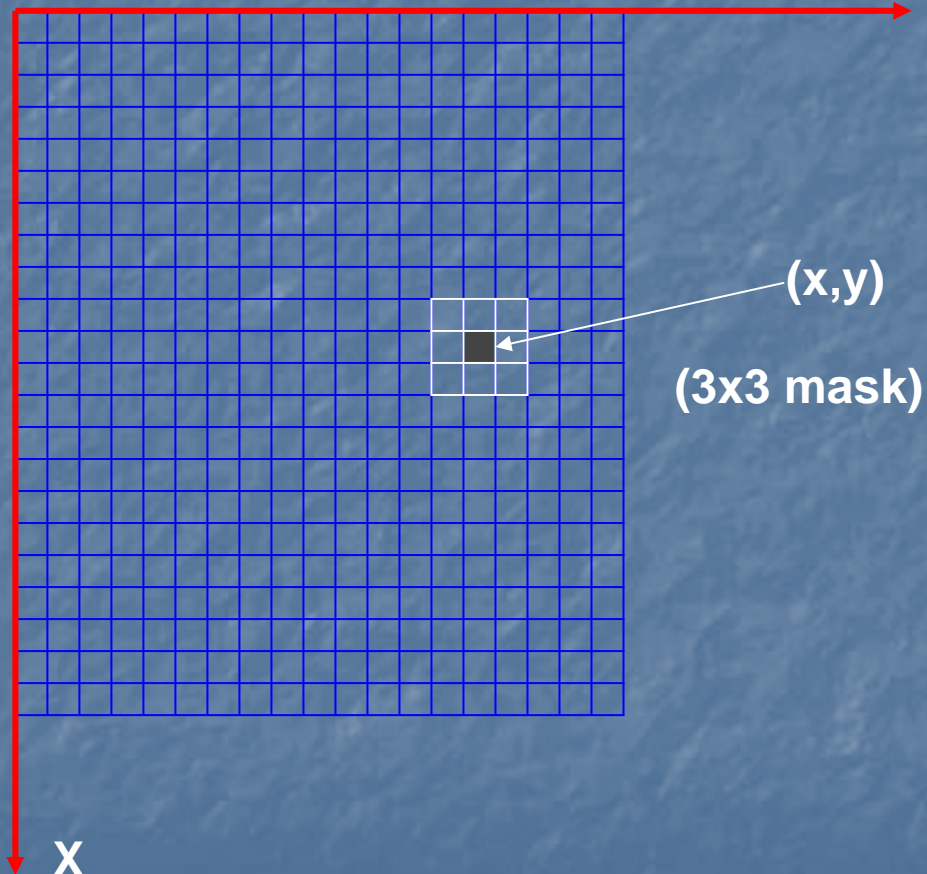
the opposite effect takes place for values of  $r$  above  $m$ .

In the limiting case shown in Fig.(b),  $T(r)$  produces a two-level (binary) image. A mapping of this form is called a thresholding function.



# Enhancement techniques based on mask processing or filtering

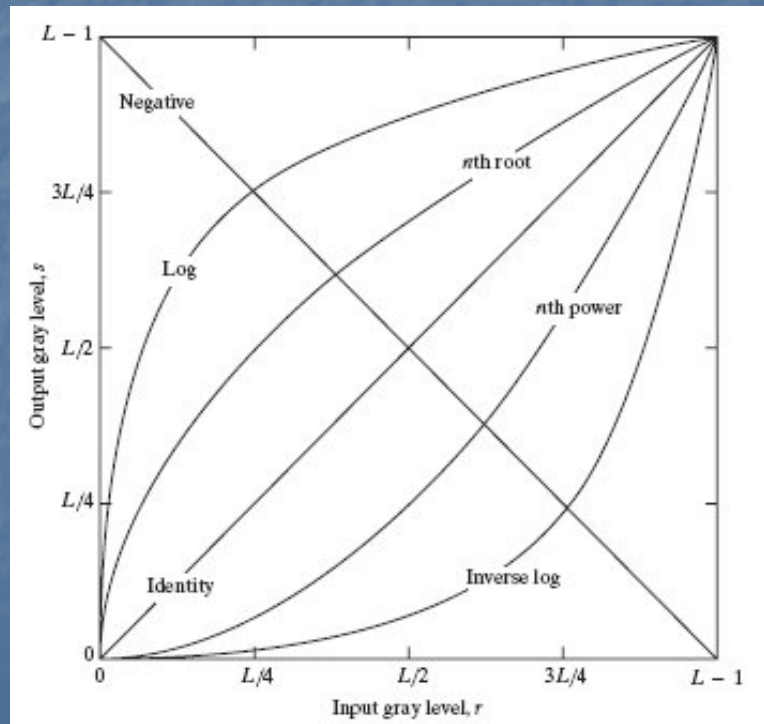
Origin



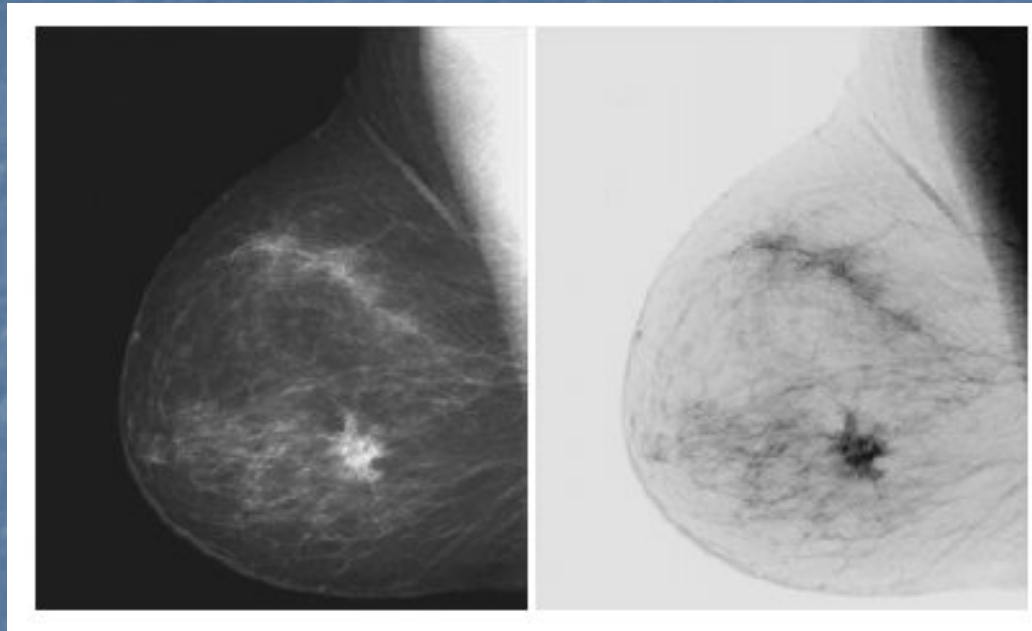
One of the principal approaches in this formulation is based on the use of so-called masks (also referred to as filters, kernels, templates, or windows). Basically, a mask is a small (say,  $3 \times 3$ ) 2-D array, such as the one shown in Fig., in which the values of the mask coefficients determine the nature of the process, such as image sharpening.

# Gray Level Transformations

1. Image Negatives :  $S = L - 1 - r$
2. Log Transformations :  $S = c \log (1 + r)$
3. Power-Law Transformations :  $S = c r^\gamma$

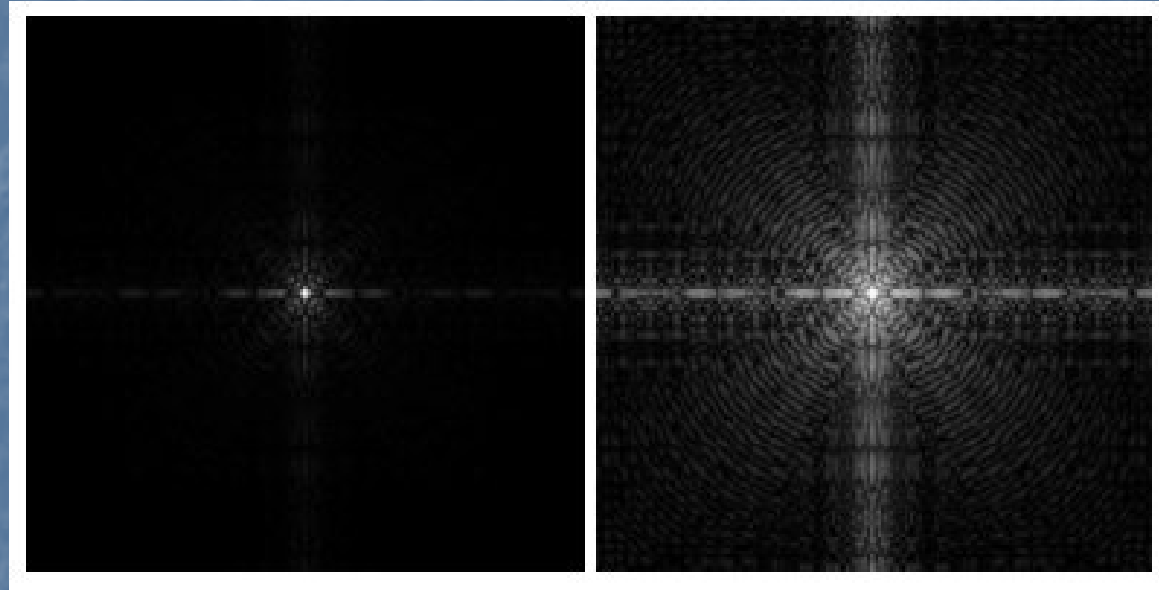


## Image Negatives : $s = L - 1 - r$



- This type of processing is particularly suited for enhancing white or gray detail embedded in dark regions of an image, especially when the black areas are dominant in size. An example is shown in Fig.. The original image is a digital mammogram showing a small lesion. In spite of the fact that the visual content is the same in both images, note how much easier it is to analyze the breast tissue in the negative image in this particular case.

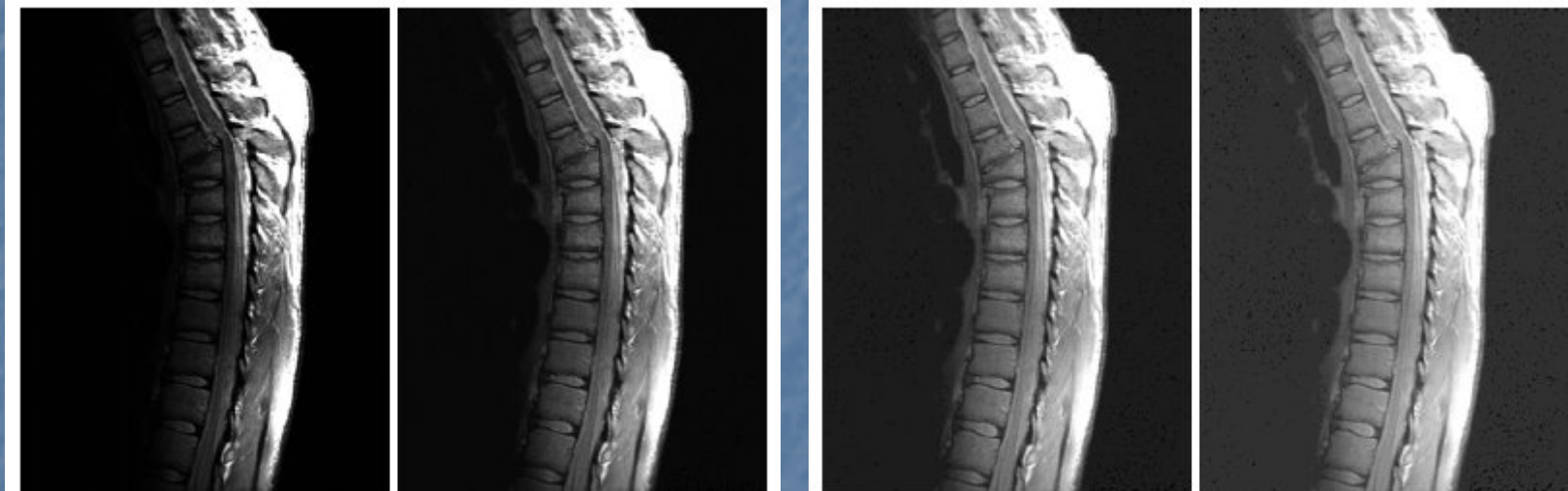
Log Transformations :  $s = c \log (1+r)$



(a) Fourier spectrum.

(b) Result of applying the log transformation given in Eq. with  $c=1$ .

## Power-Law Transformations : $s = c r^\gamma$



- (a) Magnetic resonance (MR) image of a fractured human spine.
- (b) Results of applying the transformation in Eq. with  $c=1$  and  $\gamma=0.6, 0.4, \text{ and } 0.3$ , respectively.

# Elaborazioni locali spaziali

- **Esaltazione dei contrasti e espansione**
- Istogramma
- Media Aritmetica

# Esaltazione dei contrasti e espansione

Definita una determinata legge di quantizzazione (in genere connessa al sistema pratico di campionamento spaziale, quantizzazione e codifica binaria a disposizione), la particolare immagine in esame risulta per lo più avere un livello minimo di grigio maggiore del minimo assoluto (ad esempio livello 0 = nero) ed un livello massimo minore del massimo assoluto (ad esempio livello 255 = bianco)

# Esaltazione dei contrasti e espansione

Può essere allora conveniente, in particolare per esaltare i contrasti dell'immagine (e avere quindi immagini più nitide), **espandere la scala dei livelli di grigio** con il procedimento di seguito illustrato

# Esaltazione dei contrasti e espansione

Ammettiamo di avere un'immagine campionata con valore minimo di livello di grigio pari a 60 e livello massimo pari a 145 (essendo il massimo assoluto o fondo scala uguale a 255, corrispondente a una quantizzazione con parole di 8 bit)

# Esaltazione dei contrasti e espansione

L'espansione di scala avviene  
con due passi:

- sottrazione da tutti i livelli di grigio del valore 60
- moltiplicazione per 3 dei livelli ottenuti

# Esaltazione dei contrasti e espansione

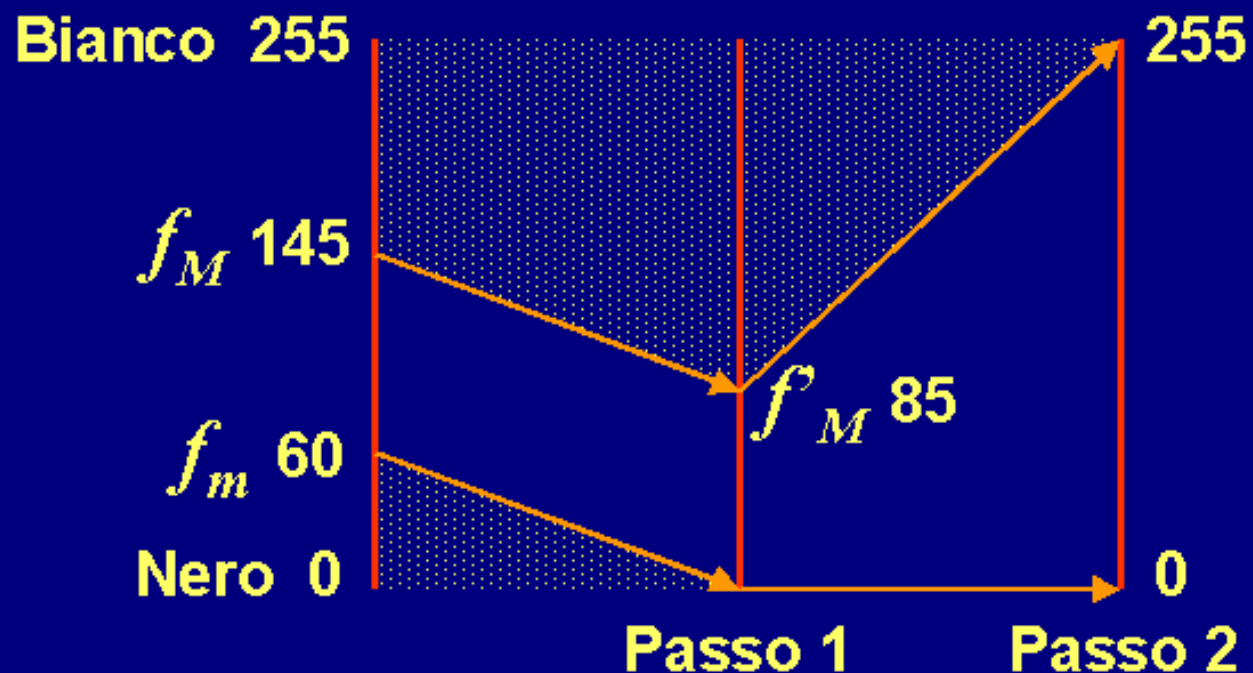
La prima operazione porta il livello minimo a 0 ed il massimo a 85 ( $f_M$ ); la seconda operazione espande la dinamica dei livelli da 0-85 a 0-255, utilizzando tutti i livelli a disposizione (ovvero tutti i bit a disposizione)

# Esaltazione dei contrasti e espansione

E' evidente che l'immagine ottenuta mostrerà un *contrasto* (variazione dei livelli) maggiore di quella originale. Il procedimento si applica per qualunque situazione di partenza (sottratto il minimo, basterà moltiplicare per il numero pari a  $255/f'_M$ )

# Esaltazione dei contrasti e espansione

Esempio di principio di espansione  
della scala dei livelli di grigio



# Esaltazione dei contrasti e espansione

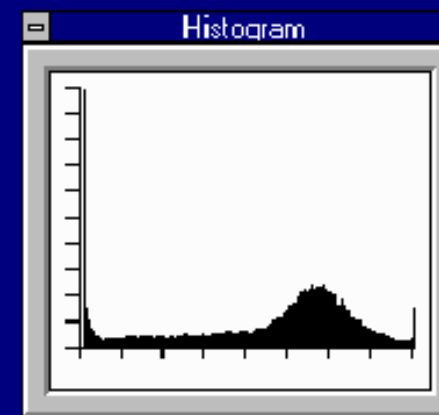
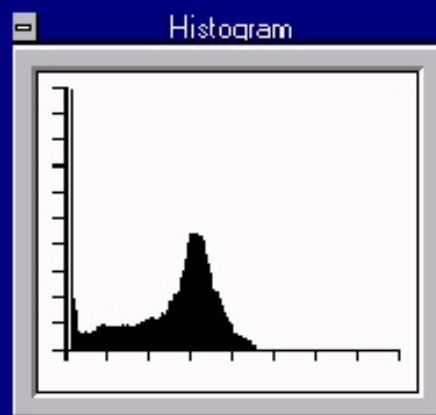
Esempio reale di espansione della  
scala dei livelli di grigio



Giotto, 'Maestà' di Ognissanti, Firenze,  
Galleria degli Uffizi, particolare

# Esaltazione dei contrasti e espansione

Esempio reale di espansione della  
scala dei livelli di grigio



Confronto fra gli istogrammi

Giotto, 'Maestà' di Ognissanti, Firenze,  
Galleria degli Uffizi, particolare

# Esaltazione dei contrasti e espansione

Il procedimento di espansione di scala può essere applicato anche a immagini a colori; considerando le tre sottoimmagini nel rosso, verde e blu, dopo aver sottratto dai loro livelli i rispettivi valori minimi, basterà moltiplicare tutti i livelli per il numero  $255/f'_{Mi}$ , essendo  $f'_{Mi}$  il valore massimo risultante dopo la sottrazione per ciascuno dei colori  $i$  (rosso, verde, blu)

# Esaltazione dei contrasti e espansione

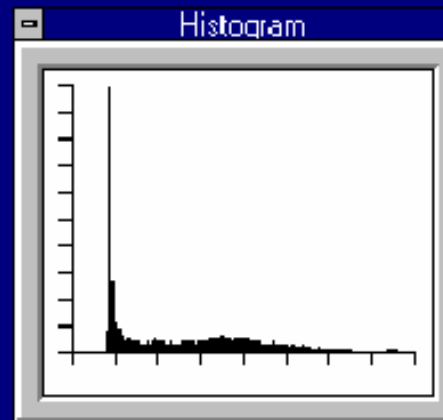
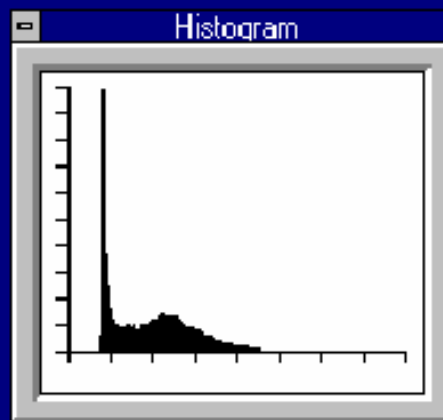
Esempio reale di espansione della  
scala su immagine a colori



Sandro Filipepi, detto il Botticelli, *La nascita di Venere*, Firenze, Galleria degli Uffizi, particolare

# Esaltazione dei contrasti e espansione

Esempio reale di espansione della  
scala su immagine a colori



Confronto fra gli istogrammi

Sandro Filipepi, detto il Botticelli, *La nascita di Venere*, Firenze, Galleria degli Uffizi, particolare

# **Esaltazione dei contrasti e espansione**

**Può essere utile, in alcune fasi di elaborazione delle immagini o per alcune applicazioni, espandere l'immagine in esame di dimensioni (effetto *zoom*), in particolare per vedere a scala spaziale maggiore un determinato particolare dell'immagine**

# **Esaltazione dei contrasti e espansione**

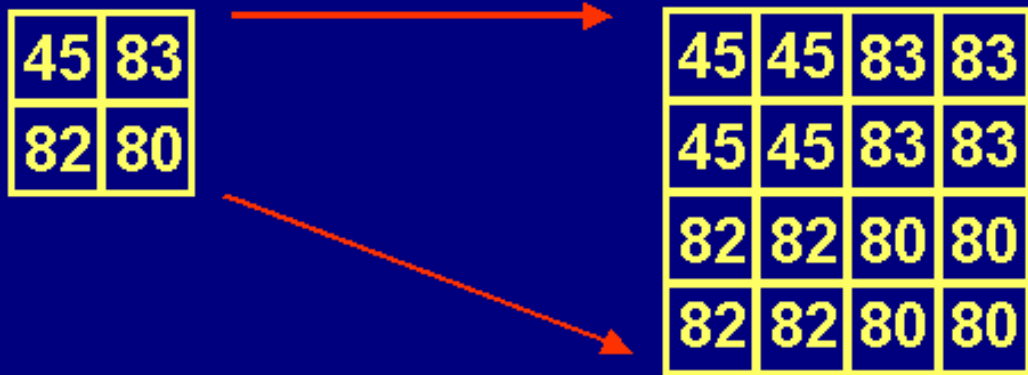
**Tale espansione è  
facilmente ottenuta,  
ripetendo uno stesso  
dato campionario  
dell'immagine (pixel)  
in forma quadrata  
 $2 \times 2$  o  $3 \times 3$**

# **Esaltazione dei contrasti e espansione**

**Tale procedimento di espansione (in particolare con la matrice 2x2) può anche essere applicato più volte e consecutivamente, per ottenere un effetto di espansione maggiore**

# Esaltazione dei contrasti e espansione

Semplice esempio di espansione  
dell'immagine (2x2)



# Esaltazione dei contrasti e espansione

Semplice esempio di espansione  
dell'immagine (3x3)

45	83
82	80



45	45	45	83	83	83
45	45	45	83	83	83
45	45	45	83	83	83
82	82	82	80	80	80
82	82	82	80	80	80
82	82	82	80	80	80

# Esaltazione dei contrasti e espansione



Esempio di  
espansione (2x2)  
dell'immagine  
della Torre del  
Mangia, Siena

# Esaltazione dei contrasti e espansione



**Esempio di  
espansione (3x3)  
dell'immagine  
della Torre del  
Mangia, Siena**

# Elaborazioni locali spaziali

- Esaltazione dei contrasti e espansione
- **Iistogramma**
- Media Aritmetica

# Iistogramma

La determinazione della *distribuzione* o *istogramma* dei livelli di grigio rappresenta di per sè un'elaborazione estremamente utile per conoscere la *struttura* in ampiezza dell'immagine ed è di fondamentale importanza per molte altre elaborazioni più o meno connesse, nel seguito illustrate

# Istogramma

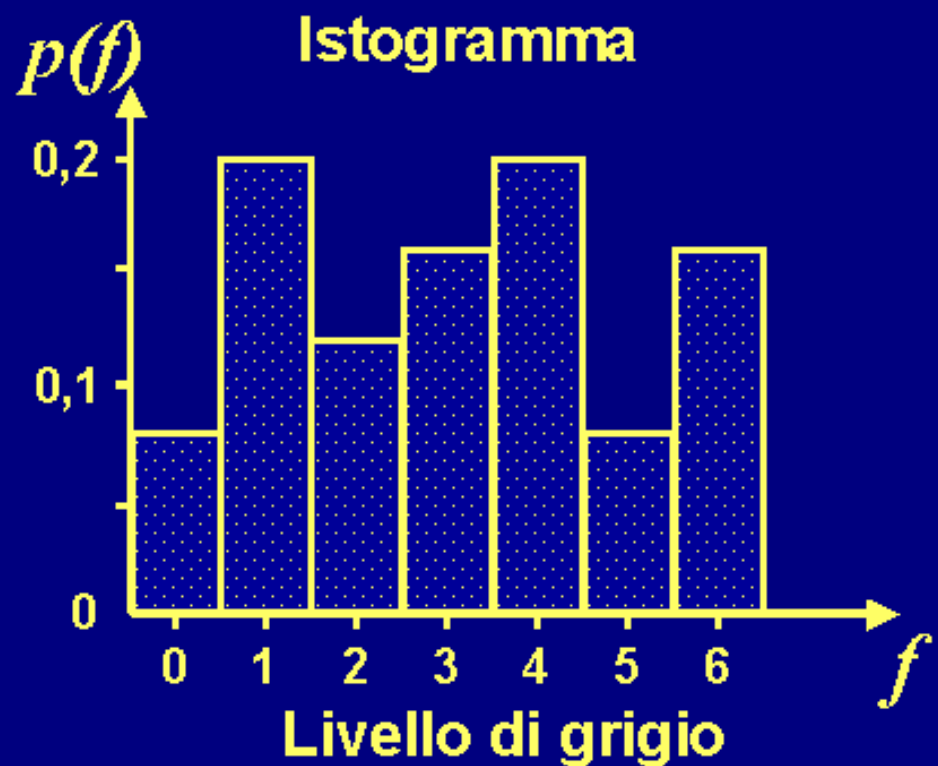
Avendo l'immagine in forma campionata, si ottiene la distribuzione o istogramma in pratica attraverso la valutazione delle *frequenze statistiche*, contando il numero di volte che un determinato livello di grigio si presenta nell'immagine in esame e dividendo tale numero per il numero totale dei dati o pixel dell'immagine stessa

# Istogramma

Immagine

2	3	4	4	6
1	2	4	5	6
1	1	5	6	6
0	1	3	3	4
0	1	2	3	4

Livello di grigio  $f$



Esempio di istogramma applicato ad  
una semplice immagine

# Iistogramma

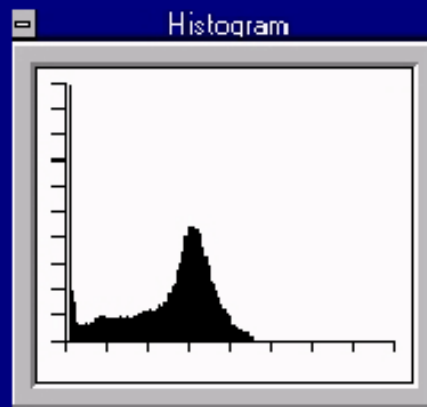
L'istogramma è di grande utilità. Anzitutto fornisce una valutazione globale della distribuzione in ampiezza dell'immagine, mostrando quali livelli sono più o meno frequenti e i valori estremi (massimo - minimo). Tale conoscenza è, ad esempio, immediatamente utile per l'operazione di espansione di scala prima descritta

# Istogramma

Poiché i diversi oggetti dell'immagine hanno in genere livelli diversi, l'istogramma fornisce un primo modo relativamente semplice di *classificazione* degli oggetti, che vengono appunto individuati dai diversi livelli su cui i pixel degli oggetti si addensano

# Istogramma

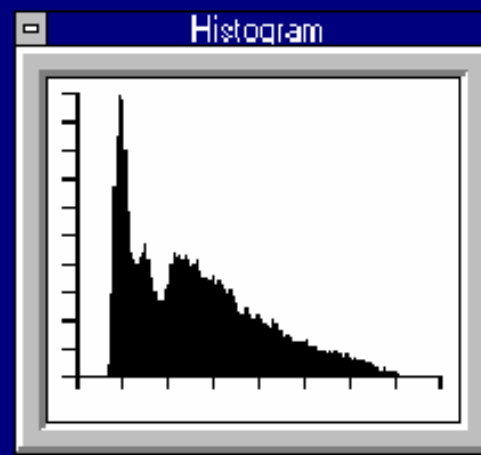
**Esempio 1: In questo caso l'istogramma mostra che è possibile applicare una espansione dei livelli di grigio**



**Giotto, 'Maestà' di Ognissanti, Firenze,  
Galleria degli Uffizi, particolare**

# Istogramma

**Esempio 2: In questo caso l'istogramma mostra che è possibile applicare una espansione dei livelli di grigio**

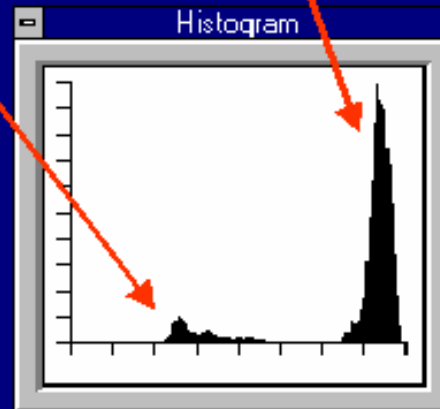


# Istogramma

**Esempio 3: In questo caso l'istogramma mette in evidenza le zone dell'immagine**



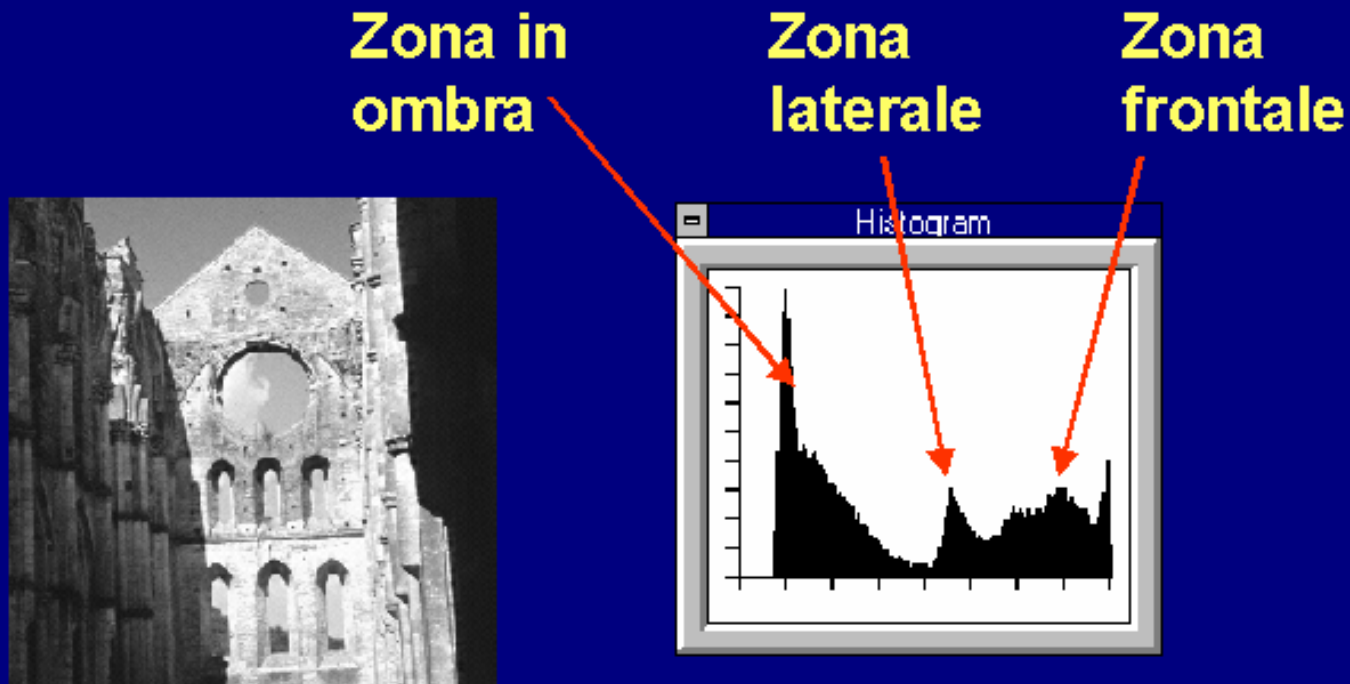
Torre



Cielo

# Istogramma

**Esempio 4: In questo caso l'istogramma mette in evidenza le zone dell'immagine**



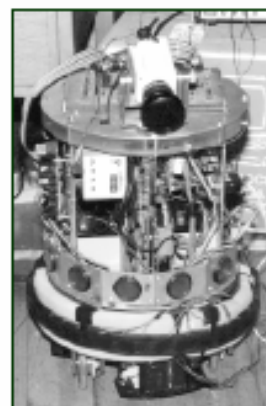
# Segmentazione

## ■ Obiettivo

- Separazione di uno o più oggetti di interesse **dallo sfondo** (background)
- A volte può essere un compito semplice ma in alcuni casi è molto complesso



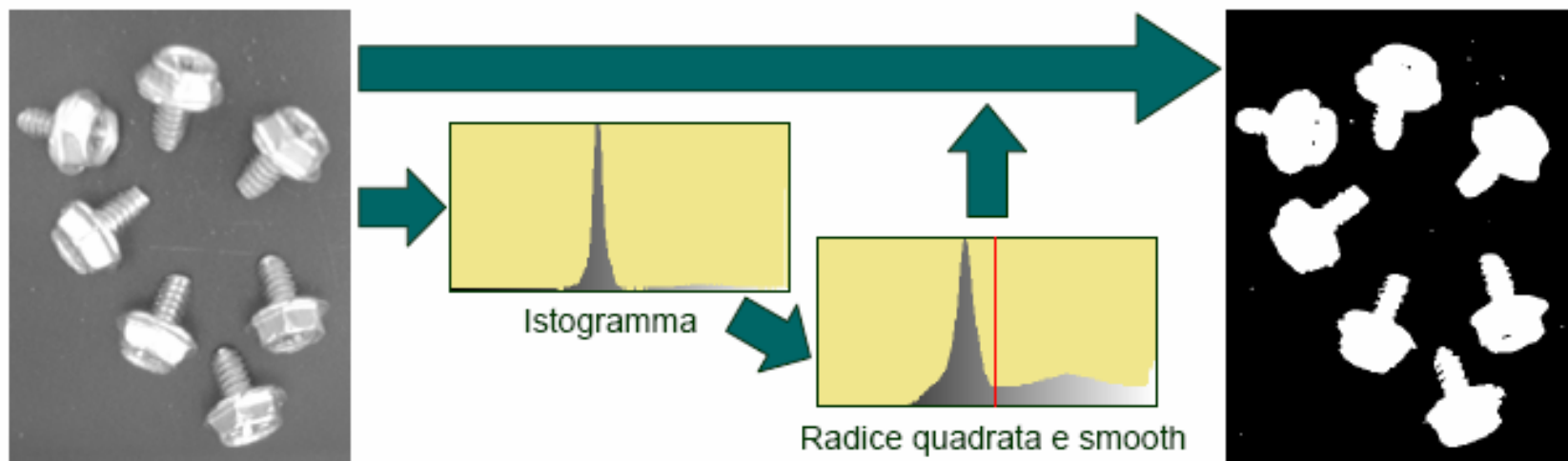
Caso Semplice



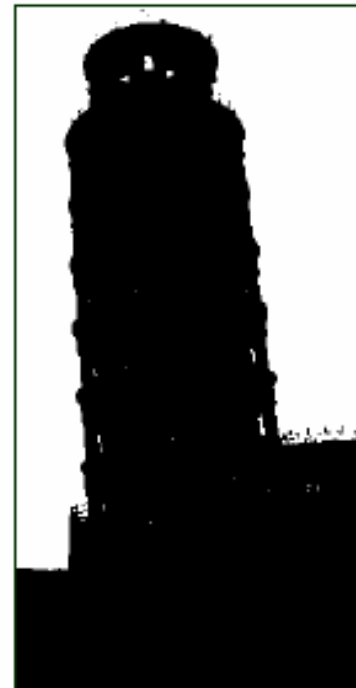
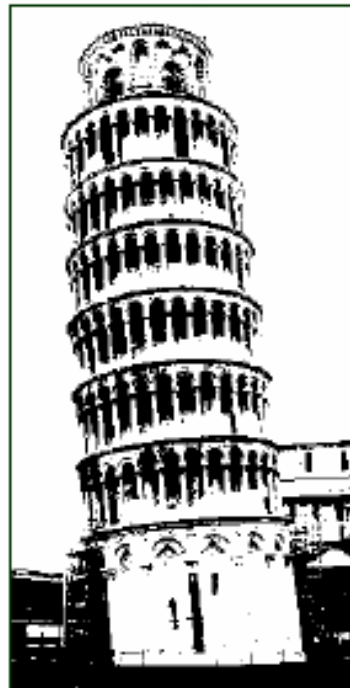
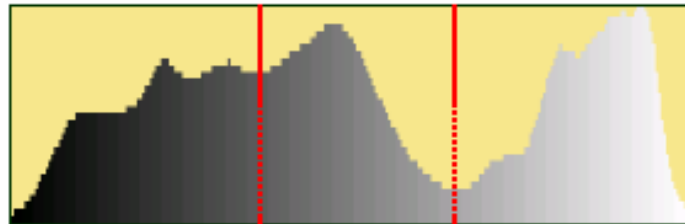
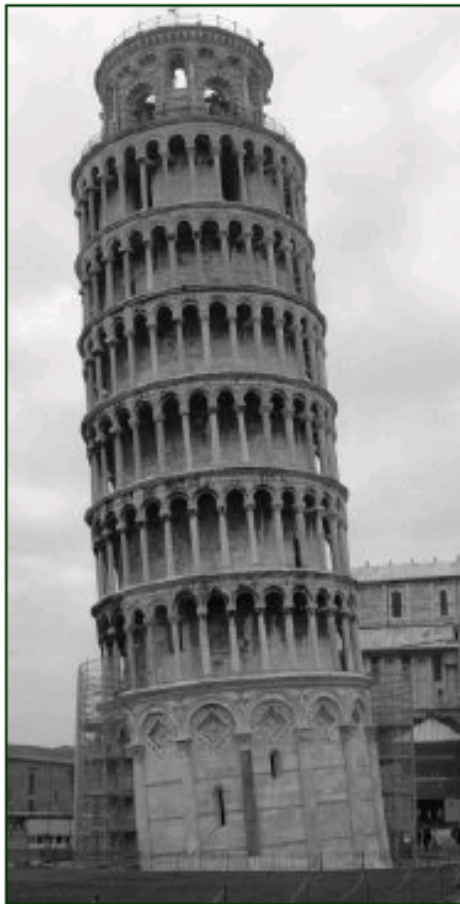
Caso complesso

# Segmentazione mediante binarizzazione

- Scelta automatica della soglia a partire dall'istogramma
  - La presenza due o più **picchi** nell'istogramma è spesso causata da oggetti con **luminosità medie** diverse
  - La soglia ottimale viene determinata come **minimo locale** tra i due picchi costituiti dallo sfondo (se omogeneo) e dagli oggetti.
  - Una **regolarizzazione (smoothing)** a priori dell'istogramma e la sua rappresentazione come **radice quadrata** può rendere più robusta e affidabile l'operazione di ricerca del/i minimo/i locale/i.



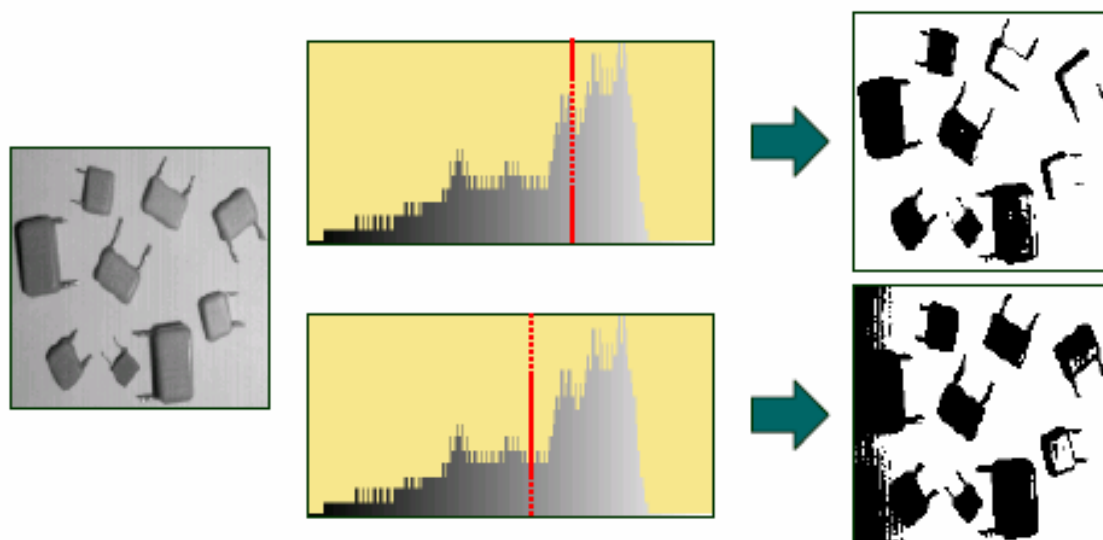
## Binariizzazione e istogramma – Esempio



# Segmentazione: binarizzazione con soglia locale

## ■ Problemi con la soglia globale

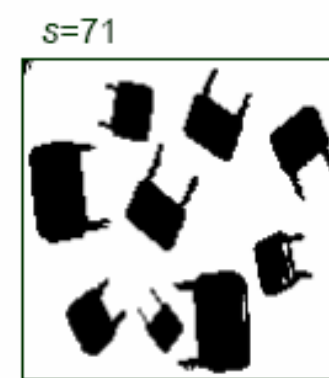
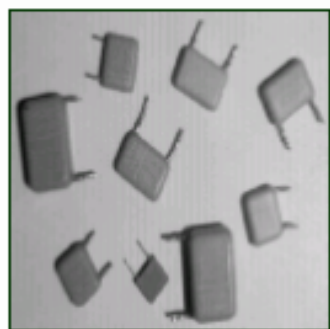
- Quando oggetti e sfondo non sono uniformi, la scelta della soglia globale è un'operazione molto critica
- Ad esempio, se lo sfondo presenta un gradiente di illuminazione (ossia la luminosità varia gradualmente da una zona all'altra dell'immagine), l'approccio non può essere utilizzato con successo



## ■ Una possibile soluzione: utilizzare soglie locali

# Binarizzazione con soglia locale

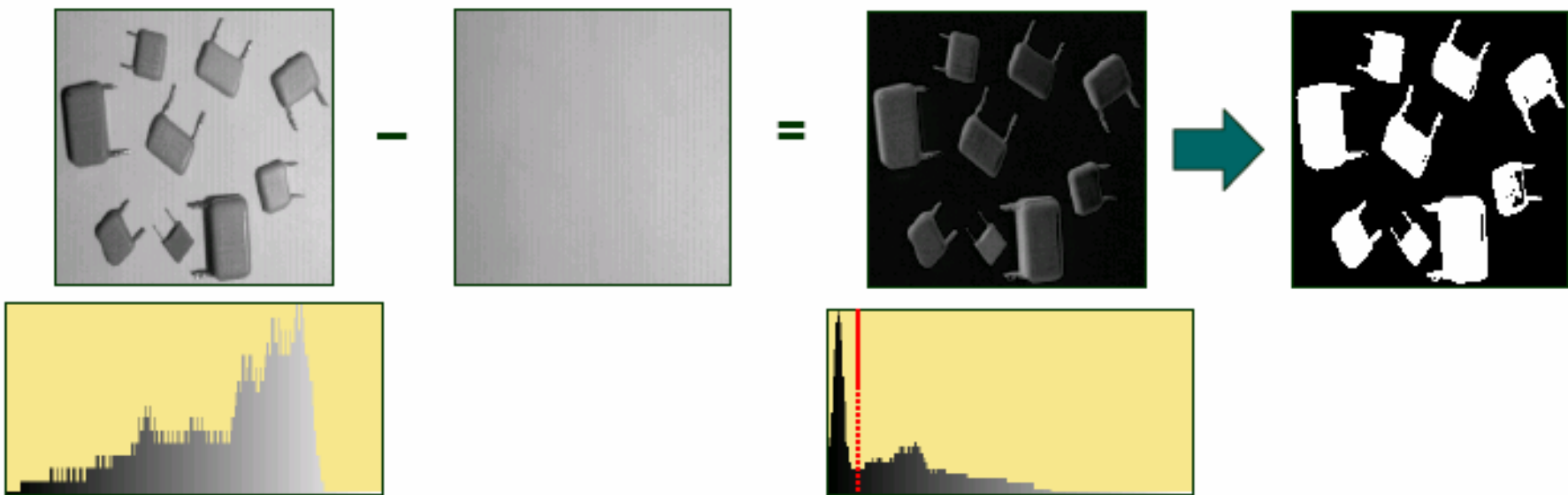
- Per ogni pixel la soglia è determinata considerando una **porzione dell'immagine**
- Diversi approcci sono possibili:
  - Dividere l'immagine in regioni (meglio se parzialmente sovrapposte) e su ognuna di esse calcolare la soglia mediante analisi dell'istogramma
  - Dividere ricorsivamente l'immagine in regioni finché il loro istogramma è chiaramente bimodale (due picchi ben separati)
  - Per ogni pixel dell'immagine determinare la soglia attraverso l'analisi dei pixel in un intorno
    - Nell'esempio in figura la soglia è semplicemente determinata come media dei pixel in un intorno quadrato di lato  $s$
  - ...



# Segmentazione: sottrazione dello sfondo

- Utilizzo di conoscenze note a priori:

- In determinate applicazioni la conoscenza di informazioni sull'oggetto da segmentare o sullo sfondo consentono di semplificare la segmentazione
  - Se lo **sfondo** e l'**illuminazione** sono **costanti**, la **sottrazione** dell'immagine dello sfondo (catturata in assenza dell'oggetto) da quella che si vuole segmentare è una tecnica generalmente molto efficace



# Elaborazioni locali spaziali

## Sommario

- Esaltazione dei contrasti e espansione
- Iistogramma
- **Media Aritmetica**

# Media aritmetica

E' spesso utile estrarre valori medi dall'immagine in esame, in particolare per ridurre variazioni brusche indesiderate dei livelli di grigio (riduzione di *disturbi* e *rumore* localizzati spazialmente)

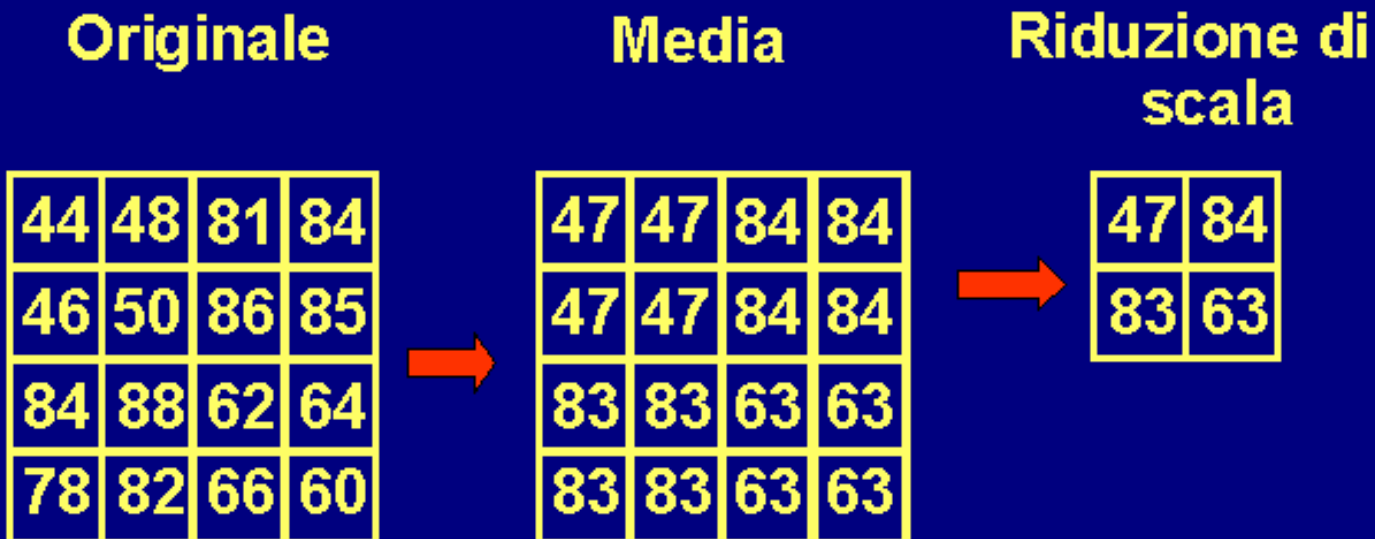
# Media aritmetica

**Un metodo semplice per ottenere quanto sopra indicato consiste nell'effettuare la media aritmetica su blocchi 2x2 o 3x3 di dati**

# Media aritmetica

Un primo procedimento corrisponde a effettuare la media aritmetica di 4 dati vicini e a sostituire la media stessa ai 4 dati. Questa operazione può peraltro permettere la riduzione di scala o *concentrazione* dell'immagine, mantenendo dei 4 dati solo uno (riduzione di un fattore 4)

# Media aritmetica



# Media aritmetica

**Un procedimento analogo  
corrisponde a effettuare la  
media aritmetica di 9 dati vicini  
e a sostituire la media ai 9 dati**

# Media aritmetica

Un altro procedimento corrisponde a operare su un blocco di dati 3x3, effettuando la media sui 9 dati :

$$g(n_1, n_2) = \frac{1}{9} \sum_{k_1=-1}^1 \sum_{k_2=-1}^1 f(n_1 - k_1, n_2 - k_2)$$

e a sostituire il valore  $g(n_1, n_2)$  al valore  $f(n_1, n_2)$  originale, ripetendo l'operazione per tutti i blocchi adiacenti 3x3

# Media aritmetica

Esempio di media aritmetica su una finestra 3x3

44	48	81	84
46	50	86	85
84	88	62	64
78	82	66	60

44	48	81	84
46	50	86	85
84	88	62	64
78	82	66	60

65			

Passo 1

65	72		

Passo 2

# Media aritmetica

Come variante del procedimento precedente, si effettua la media su 8 dati, escludendo quello centrale:

$$g(n_1, n_2) = \frac{1}{8} \sum_{\substack{k_1=-1 \\ k_1 + k_2 \neq 0}}^1 \sum_{k_2=-1}^1 f(n_1 - k_1, n_2 - k_2)$$

Il valore ottenuto si assegna al valore centrale originale

## Media aritmetica

## Esempio di media aritmetica su una finestra 3x3 con esclusione del punto centrale

44	48	81	84
46	50	86	85
84	88	62	64
78	82	66	60

## Passo 1

44	48	81	84
46	50	86	85
84	88	62	64
78	82	66	60

## Passo 2

# Media aritmetica

E' evidente che le precedenti operazioni di media corrispondono a *filtraggi di tipo passa-basso* nel campo delle frequenze spaziali, nel senso che vengono ridotte variazioni dei livelli di grigio alle frequenze più alte, con il risultato di un notevole miglioramento della qualità dell'immagine in esame se le componenti alle frequenze più alte sono essenzialmente dovute a disturbi e rumore

# Media aritmetica

Mediante questo operatore, sostituendo il valore di ogni pixel con la media dei suoi valori vicini (di ampiezza non molto diversa), si elimina il *rumore* di piccola entità, mentre non si alterano eventuali *contorni* presenti nell'immagine in esame

# Media aritmetica

Esempio 1: Immagine della Torre del Mangia, Siena elaborata con media aritmetica (finestra 3x3)



# Media aritmetica

**Esempio 2: Immagine della Torre del Mangia, Siena elaborata con media aritmetica (finestra 5x5)**



# Media aritmetica

Esempio 3: Immagine rumorosa della Venere elaborata con media aritmetica (finestra 3x3)



Sandro Filipepi, detto il Botticelli, *La nascita di Venere*, Firenze, Galleria degli Uffizi, particolare

# Media aritmetica

**Esempio 4: Immagine molto rumorosa  
della Venere elaborata con media  
aritmetica (finestra 3x3)**



**Sandro Filipepi, detto il Botticelli, *La nascita di Venere*, Firenze, Galleria degli Uffizi, particolare**

# Uso di operatori locali

Esempio di applicazione in cascata di un filtro di media  $5 \times 5$  e di esaltazione dei contrasti sul volto della 'Maestà'



Giotto, 'Maestà' di Ognissanti, Firenze,  
Galleria degli Uffizi, particolare

# FILTRI

- Possiamo considerare la media aritmetica come un filtro applicato all'immagine
- Sono stati studiati un'infinità di filtri
- Esempio: il filtro gaussiano

# Smoothing Gaussiano

- Gli elementi sono pesati secondo una funzione gaussiana.
  - Il parametro  $\sigma$  controlla l'ampiezza della gaussiana e quindi l'entità della regolarizzazione.
  - Il filtro è separabile: conviene effettuare la convoluzione con due filtri 1D (identici fra loro)
- Approssimazione con valori interi (per maggiore efficienza)
  - Il termine  $(1/\sqrt{...})$  può essere trascurato, in quanto dopo il calcolo è comunque necessario normalizzare gli elementi rispetto alla somma dei pesi
  - Esempio ( $\sigma=1$ ) di una possibile soluzione:

0.135 0.607 1 0.607 0.135

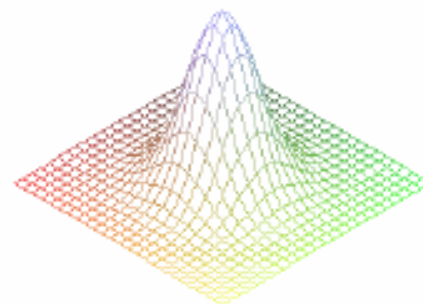
Filtro 1D (ignorando termine moltiplicativo)



$\frac{1}{17} \cdot$  1 4 7 4 1

Approssimazione intera e normalizzazione

$$G_{2D}(x,y,\sigma) = \frac{1}{2\pi\sigma^2} \cdot \exp^{-\frac{x^2+y^2}{2\sigma^2}}$$



$$G_{1D}(t,\sigma) = \frac{1}{\sqrt{2\pi\sigma^2}} \cdot \exp^{-\frac{t^2}{2\sigma^2}}$$

$$G_{2D}(x,y,\sigma) = G_{1D}(x,\sigma) \cdot G_{1D}(y,\sigma)$$

## Smoothing Gaussiano – Esempi



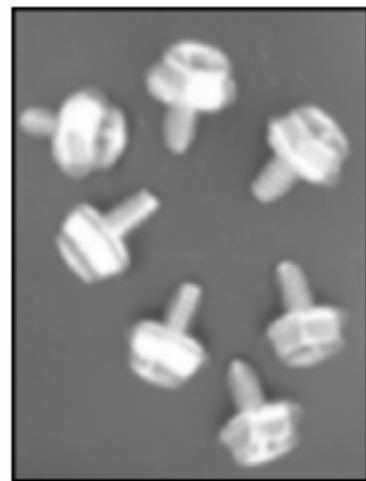
$\sigma = 2$ , Filtro  $5 \times 5$



$\sigma = 4$ , Filtro  $9 \times 9$



$\sigma = 5$ , Filtro  $15 \times 15$



# Gray-level discontinuity detection

- Basic types of gray-level discontinuities in a digital image:
  - points
  - lines
  - edges
- Main approach for their identification: to run a *mask* through the images, computing the sum of products of the coefficients with the gray levels contained in the region encompassed by the mask.

$w_1$	$w_2$	$w_3$
$w_4$	$w_5$	$w_6$
$w_7$	$w_8$	$w_9$

a general 3x3 mask

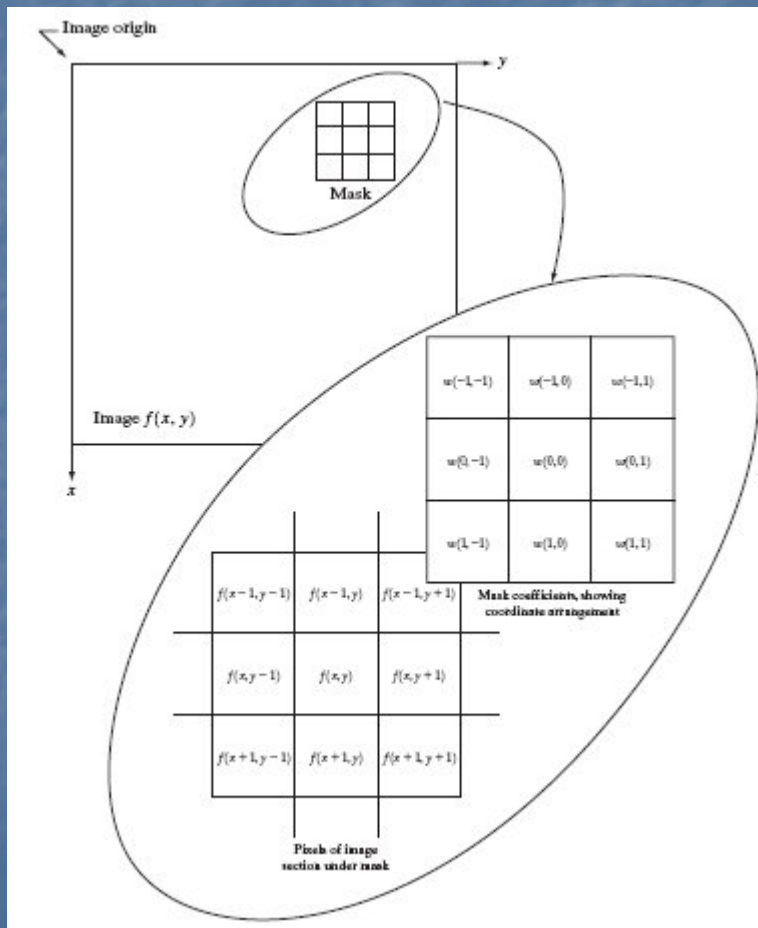
$$\begin{aligned} R &= w_1 z_1 + w_2 z_2 + \cdots + w_9 z_9 \\ &= \sum_{i=1}^9 w_i z_i \end{aligned}$$

(\*)Response of the mask at any point in the image,  
defined with respect to its center location.

$z_i$  = gray level of the pixel

$w_i$  = associated mask coefficient

# MASK



In general, linear filtering of an image  $f$  of size  $M \times N$  with a filter mask of size  $m \times n$  is given by the expression:

$$g(x, y) = \sum_{s=-a}^a \sum_{t=-b}^b w(s, t)f(x + s, y + t)$$

where, from the previous paragraph,  $a = (m-1)/2$  and  $b = (n-1)/2$ . To generate a complete filtered image this equation must be applied for  $x = 0, 1, 2, \dots, M-1$  and  $y = 0, 1, 2, \dots, N-1$ . In this way, we are assured that the

# Generalità sulle trasformazioni numeriche 2D

La trasformazione numerica 2D di una matrice di dati di ingresso (immagine campionata) è definita dalla relazione:

$$F(k_1, k_2) = \sum_{n_1=1}^{N_1} \sum_{n_2=1}^{N_2} f(n_1, n_2) A(n_1, n_2; k_1, k_2)$$

ove  $f(n_1, n_2)$  sono i dati di ingresso e  $A(n_1, n_2; k_1, k_2)$  rappresenta la **base** o *nucleo* (*kernel*) dell'operatore di trasformazione

# Generalità sulle trasformazioni numeriche 2D

La trasformata inversa è espressa da:

$$f(n_1, n_2) = \sum_{k_1=1}^{N_1} \sum_{k_2=1}^{N_2} F(k_1, k_2) B(n_1, n_2; k_1, k_2)$$

ove  $B(n_1, n_2; k_1, k_2)$  rappresenta  
l'inverso della **base** o **nucleo**  
dell'operatore di trasformazione

# Generalità sulle trasformazioni numeriche 2D

Nel seguito, per semplificare la trattazione, saranno considerate matrici dell'immagine di dimensione quadrata  $N_1=N_2=N$ , con indici  $(n_1, n_2; k_1, k_2)$  da 0 a  $N-1$

# Trasformazione di Fourier

**La trasformazione o trasformata di Fourier 2D discreta o numerica di una matrice di dati di ingresso è definita dalla relazione:**

$$F(k_1, k_2) = \sum_{n_1=0}^{N-1} \sum_{n_2=0}^{N-1} f(n_1, n_2) e^{-\frac{2\pi j}{N} (k_1 n_1 + k_2 n_2)}$$

**ove gli indici  $k_1$  e  $k_2$  corrispondono alle frequenze spaziali  $V_x$  e  $V_y$**

# Trasformazione di Fourier

In particolare:

$v_x = k_1 \Delta v$ ,  $v_y = k_2 \Delta v$ , essendo  
 $\Delta v$  un incremento costante di  
frequenza (passo di  
campionamento nelle frequenze  
spaziali)

# Trasformazione di Fourier

La trasformata di Fourier 2D numerica inversa è definita dalla relazione:

$$f(n_1, n_2) = \frac{1}{N^2} \sum_{k_1=0}^{N-1} \sum_{k_2=0}^{N-1} F(k_1, k_2) e^{\frac{2\pi j}{N} (k_1 n_1 + k_2 n_2)}$$

con gli indici  $k_1$  e  $k_2$  già indicati

# Alcune tecniche di riconoscimento

- *Uso della trasformata di Fourier*

La trasformata di Fourier permette di avere una rappresentazione nel dominio delle *frequenze spaziali* dell'immagine in esame

# Alcune tecniche di riconoscimento

Si pensi, ad esempio, a un'immagine che abbia in alcune zone strutture o configurazioni localizzate costituite da variazioni rapide del livello di grigio nel senso orizzontale (come linee scure verticali)

# Alcune tecniche di riconoscimento

E' evidente che anche la semplice trasformata di Fourier unidimensionale applicata in direzione orizzontale (frequenza spaziale  $\omega_x/2\pi$ ) presenterà componenti in alta frequenza in corrispondenza di tali variazioni

# Alcune tecniche di riconoscimento

Pertanto l'applicazione della trasformata 1D secondo  $x$  a sottoimmagini permetterà di individuare in quali sottoimmagini si hanno le variazioni rapide cercate

# Alcune tecniche di riconoscimento

Analogamente per immagini con variazioni rapide spaziali dei livelli di grigio in determinate zone, l'applicazione della trasformata di Fourier 2D evidenzierà le alte frequenze spaziali nelle zone di interesse, riconoscendole

# Alcune tecniche di riconoscimento

Per alcuni oggetti tipici (griglie rettangolari, strutture circolari) la forma dello spettro 2D rappresenta una caratteristica di riconoscimento nota a priori, che costituisce un utile riferimento (prototipo) di individuazione e riconoscimento

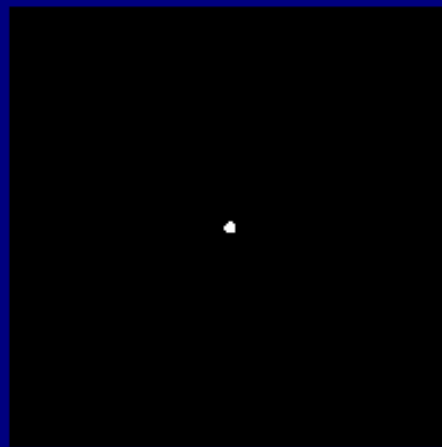
# Alcune tecniche di riconoscimento

L'applicazione della trasformata di Fourier può essere utile anche a immagini opportunamente pre-elaborate. Se, ad esempio, sono stati estratti i contorni degli oggetti, l'applicazione della trasformata di Fourier 1D ai contorni permetterà di distinguere nettamente i contorni stessi (es. da circolari a rettangolari)

# Trasformazione di Fourier



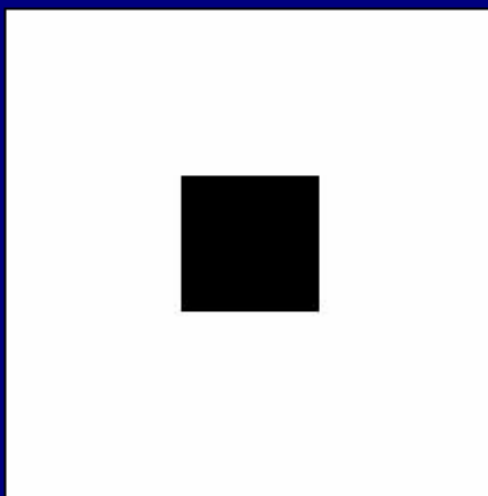
immagine



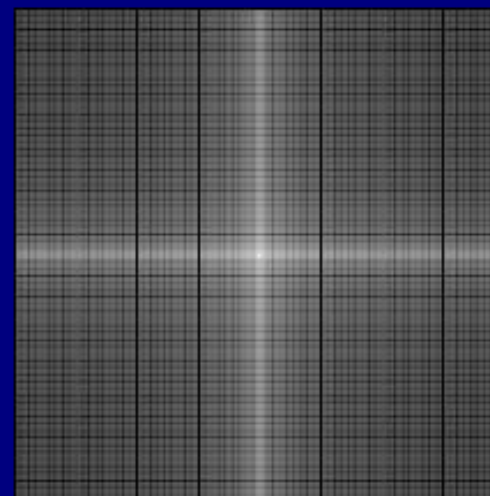
trasformata (modulo)

**Esempio 1: trasformata (modulo) di immagine con livello di grigio costante**

# Trasformazione di Fourier



immagine



trasformata (modulo)

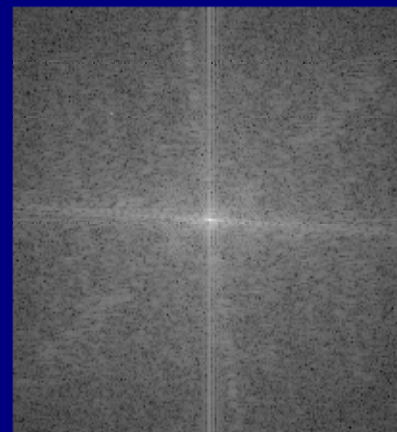
**Esempio 2: trasformata (modulo) di immagine  
con quadrato**

# Alcune tecniche di riconoscimento

Esempio di riconoscimento di caratteristiche strutturali tramite la trasformata di Fourier applicata all'immagine della Torre del Mangia, Siena



immagine



trasformata

# Trasformazione di Fourier



**immagine**



**trasformata (modulo)**

**Esempio 3: trasformata (modulo) di immagine  
con volto**

# Trasformazione di Fourier



immagine

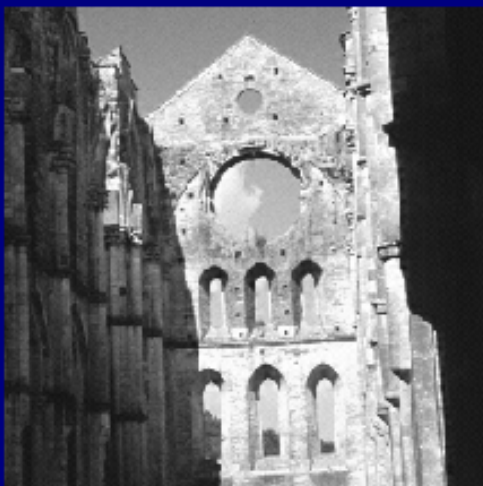


trasformata (modulo)

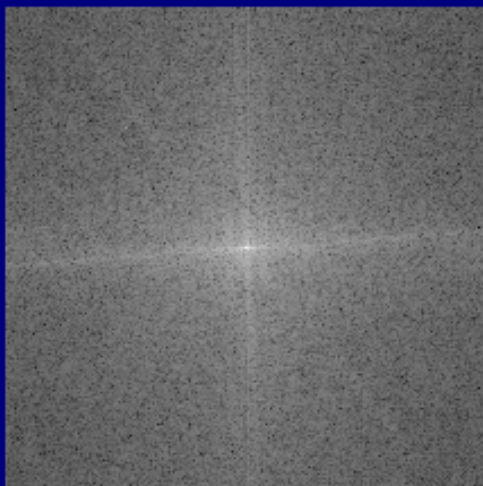
**Esempio 4: trasformata (modulo) del volto  
della Venere**

Sandro Filipepi, detto il Botticelli, *La nascita di Venere*, Firenze, Galleria degli Uffizi, particolare

# Trasformazione di Fourier



immagine

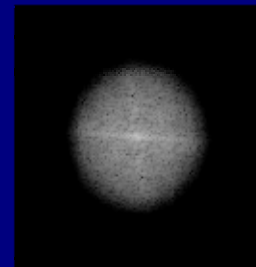
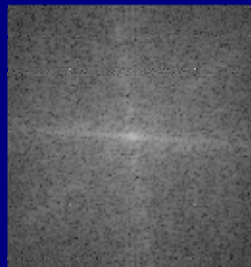


trasformata (modulo)

**Esempio 6: trasformata (modulo) della  
Basilica di S. Galgano**

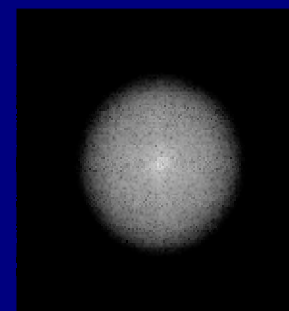
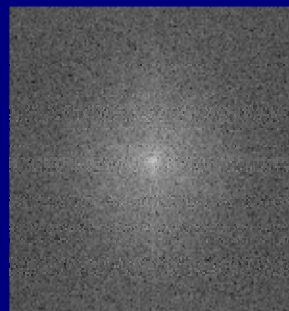
# Filtri numerici bidimensionali FIR e IIR

Esempio di applicazione di un filtro 2D  
FIR di tipo passa-basso sulla Torre  
del Mangia, Siena



# Filtri numerici bidimensionali FIR e IIR

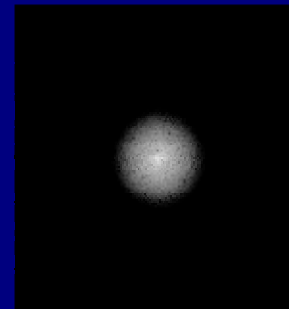
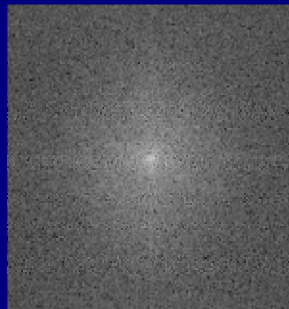
**Esempio di applicazione di un filtro 2D  
FIR di tipo passa-basso sul volto della  
Venere**



**Sandro Filipepi, detto il Botticelli, *La nascita di Venere*, Firenze, Galleria degli Uffizi, particolare**

# Filtri numerici bidimensionali FIR e IIR

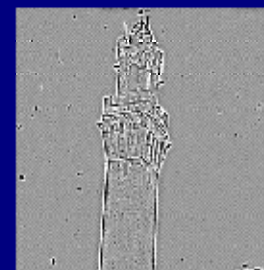
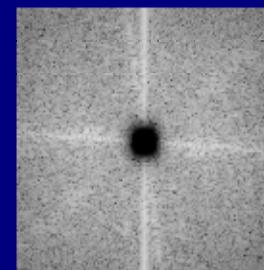
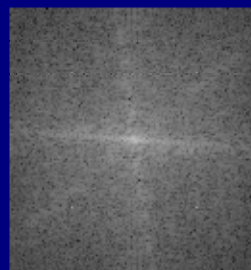
Esempio di applicazione di un filtro 2D FIR di tipo passa-basso (con frequenza di taglio inferiore) sul volto della Venere



Sandro Filipepi, detto il Botticelli, *La nascita di Venere*, Firenze, Galleria degli Uffizi, particolare

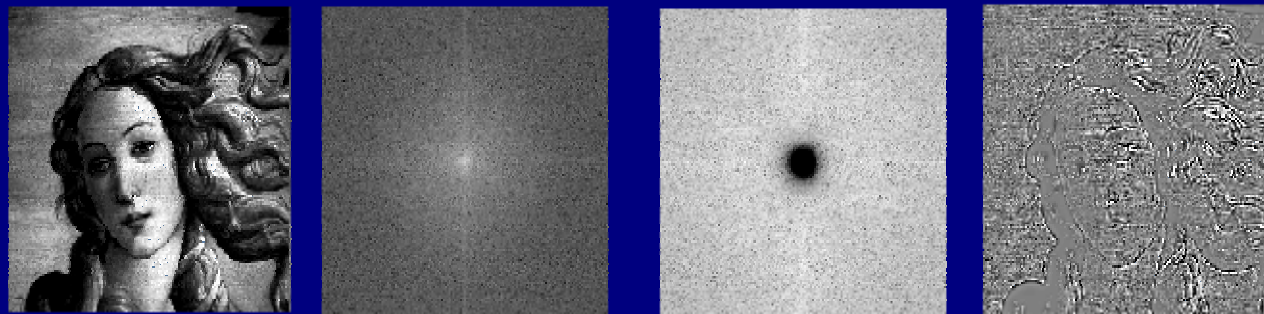
# Filtri numerici bidimensionali FIR e IIR

Esempio di applicazione di un filtro 2D  
FIR di tipo passa-alto sulla Torre del  
Mangia, Siena



# Filtri numerici bidimensionali FIR e IIR

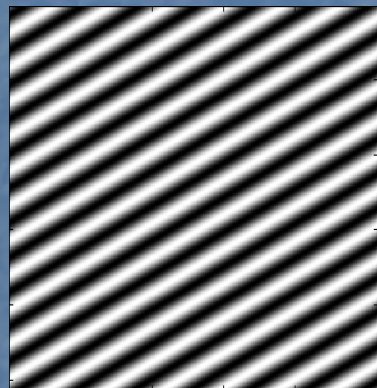
**Esempio di applicazione di un filtro 2D  
FIR di tipo passa-alto sul volto della  
Venere**



**Sandro Filipepi, detto il Botticelli, *La nascita di Venere*, Firenze, Galleria degli Uffizi, particolare**

# Surface Wave Model

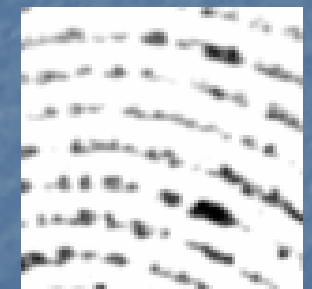
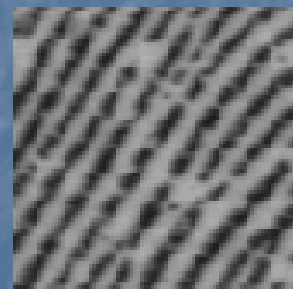
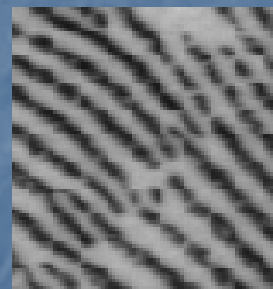
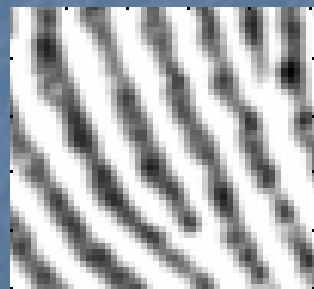
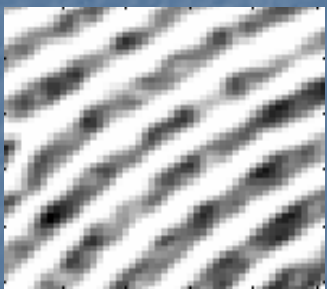
---



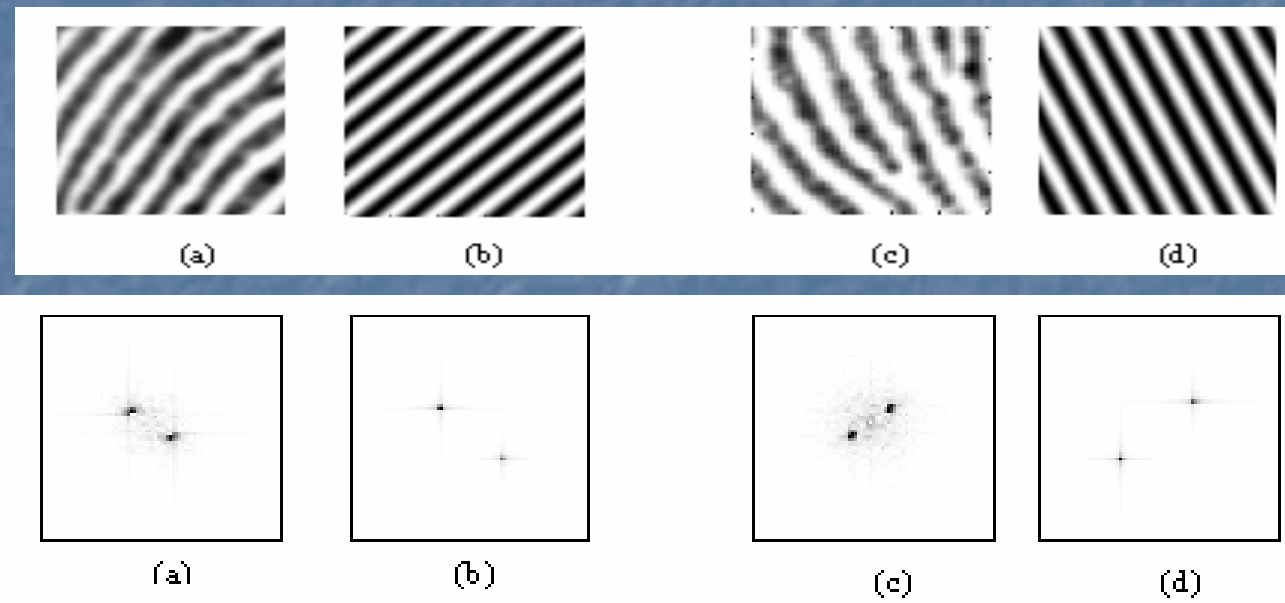
$$i(x, y) = A \cos [ 2\pi r \{ x \cos(\phi) + y \sin(\phi) \} ]$$

$\phi_{(x,y)}$  = Local ridge orientation

$r_{(x,y)}$  = Local ridge frequency



# Validity of the model



- **With the exception of singularities such as core and delta, any local region of the fingerprint has consistent ridge orientation and frequency.**
- **The ridge flow may be coarsely approximated using an oriented surface wave that can be identified using a single frequency  $f$  and orientation  $\theta$ .**
- **However, a real fingerprint is marked by a distribution of multiple frequencies and orientation.**